

## **ТЕОРЕТИЧНЕ ОБГРУНТУВАННЯ АЛГОРИТМУ АВТОМАТИЧНОГО КОНТРОЛЮ ПРОДУКТИВНОСТІ СТРУГОВОЇ ВИЙМКИ**

Старовєров К.С., канд. техн. наук, доц., Кривонос М.В. студ.,  
Донецький державний технічний університет

*Теоретично обґрунтovanий алгоритм автоматичного контролю продуктивності стругової виїмки в складі системи автоматичного забезпечення прямолінійності очисного вибою*

*Algorithm of automatic productivity control of a plow winning in composition of automatic support system of linearity stop in theory is grounded*

Використання систем автоматичного забезпечення прямолінійності (САЗП) очисного вибою є одним з засобів підвищення продуктивності стругової виїмки, актуальність застосування якої для виїмки тонких, викидонаебезпечних пластів Донбасу неодноразово підкреслювалася фахівцями в цій галузі [1, 2]. Присутність в складі САЗП підсистеми контролю посування очисного вибою [3] надає додаткову можливість оцінки продуктивності очисної виїмки без будь-яких додаткових засобів контролю. Це дозволить уникнути застосування електромеханічних ваговимірювальних пристройів, наприклад, при рішенні задачі оперативно-диспетчерського керування шахтою [4]. Розробка алгоритму автоматичного контролю продуктивності очисної виїмки на базі САЗП і є предметом даної статті.

Скористуємося відомим виразом для визначення експлуатаційної продуктивності стругової виїмки [5]

$$A_E = L_e \cdot m_{nl} \cdot \gamma \cdot d \cdot h_c \cdot n_d, \text{ т/добу}, \quad (1)$$

де  $L_e$  - робоча довжина очисного вибою, м;  $m_{nl}$  - потужність пласта, м;  $\gamma$  - питома вага вугілля, т/м<sup>3</sup>;  $d$  - коефіцієнт видобутку вугілля;  $h_c$  - товщина стружки, м;  $n_d$  - кількість робочих ходів струга на добу.

У даному виразі  $L_e \cdot h_c \cdot n_d$  є площа посування очисного вибою за добу  $\Delta S_d$ , тоді з урахуванням введення коефіцієнта  $k = m_{nl} \cdot \gamma \cdot d$ , що враховує конкретні гірниче-геологічні умови,

$$A_E = k \cdot \Delta S_d. \quad (2)$$

Якщо припустити, що лінія очисного вибою характеризується своїм початковим  $F_n(x)$  і кінцевим  $F_k(x)$  відомими станами на інтервалі  $x \in [x_n, x_k]$ , то очевидно, що

$$\Delta S_d = \int_{x_n}^{x_k} (F_k(x) - F_n(x)) \cdot dx, \quad (3)$$

а з урахуванням властивості лінійності певного інтеграла

$$\Delta S_d = \int_{x_n}^{x_k} F_k(x) \cdot dx - \int_{x_n}^{x_k} F_n(x) \cdot dx = S_k - S_n. \quad (4)$$

Дане припущення обґрунтоване, оскільки, одна з функцій САЗП-визначення фактичного положення лінії очисного вибою. При цьому, ця лінія задається на інтервалі  $[x_n, x_k]$  таблицею  $(x_i, y_i), i = 0, 1, \dots, m-1$ , де  $x_i$  - розбиття  $x_n = x_0 < x_1 < \dots < x_{m-1} = x_k$ , що характеризує місця установки датчиків посування конвейєра (ДПК),  $y_i$  - свідчення ДПК,  $m$ - кількість ДПК. Визначення значень функції  $F(x)$ , що описує положення лінії очисного вибою, в довільній точці області її визначення  $x \in [x_n, x_k]$  здійснюється сплайн-методом, що обґрунтовано в [3], тобто

$$F(x) = \text{spline}^{(N)}(x_i, y_i, x), i = 0, 1, \dots, m-1, \quad (5)$$

де  $N$  - степінь сплайн-функції.

Практичне застосування для рішення задач автоматизації стругової виїмки здобули сплайн-функції першої степені (кусково-лінійна інтерполяція) через невеликий динамічний діапазон зміни значень функції  $F(x)$ . З урахуванням цього,

$$F(x) = y_k + a_k \cdot (x - x_k), k = 0, 1, \dots, m-2, \quad (6)$$

$$\text{де } a_k = \frac{y_{k+1} - y_k}{x_{k+1} - x_k}.$$

Знайдемо вираз для визначення площини фігури  $S$ , обмеженої сплайном  $F(x)$ . Для цього візьмемо певний інтеграл від  $F(x)$  на інтервалі  $[x_n, x_k]$  і після відповідних перетворень отримаємо

$$S = \frac{1}{2} \cdot \sum_{k=0}^{m-2} (y_{k+1} + y_k)(x_{k+1} - x_k). \quad (7)$$

Вираз (7) можна спростувати шляхом запису у вигляді ряду, подальшого виключення членів  $y_k \cdot x_k$  для  $k = 1, \dots, m-3$  і уявлення у вигляді

$$S = \frac{1}{2} \cdot \left( \det \mathbf{B} + \sum_{k=0}^{m-2} \det \mathbf{A}_k \right), \quad (8)$$

де  $\det \mathbf{B} (\det \mathbf{A}_k)$  - визначник матриці  $\mathbf{B} (\mathbf{A}_k)$ ;

$$\mathbf{B} = \begin{pmatrix} y_{m-1} & y_0 \\ x_0 & x_{m-1} \end{pmatrix}, \mathbf{A}_k = \begin{pmatrix} y_k & y_{k+1} \\ x_k & x_{k+1} \end{pmatrix},$$

однак, об'єм обчислень в цьому випадку збільшується.

Процес знаходження  $\Delta S_d$  ілюструє рисунок 1 і характеризується

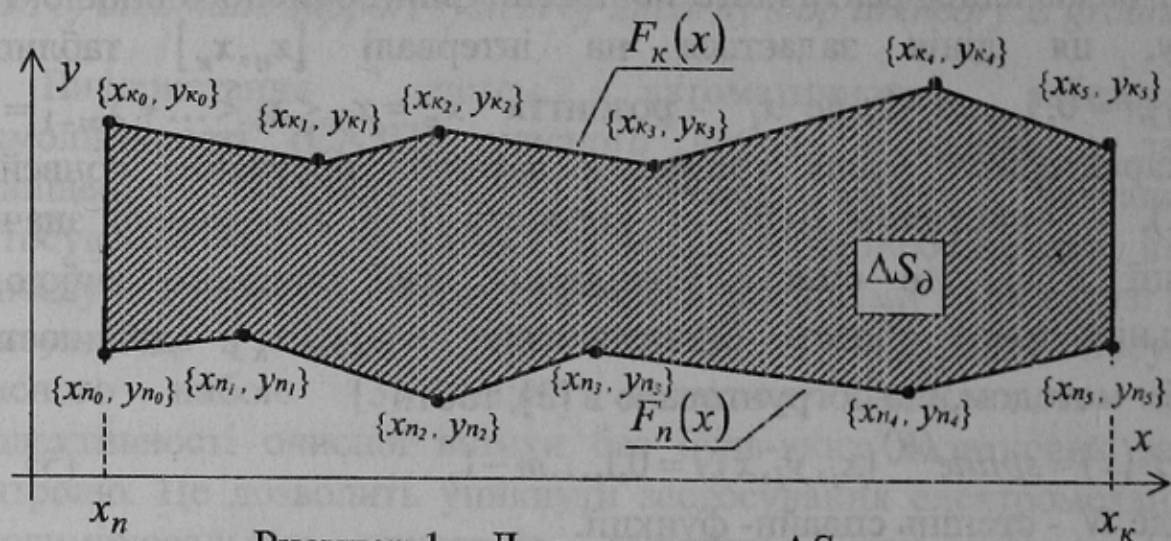


Рисунок 1 – До визначення  $\Delta S_d$

двою випадками.

1 Випадок, коли абсциси задаючих сіток співпадають між собою, тобто  $x_{n_j} = x_{k_j}$ ,  $j = 0, \dots, m-1$ , характеризує робочий режим функціонування САЗП.

У цьому випадку необхідно підставити вирази для знаходження  $S_n$  і  $S_k$  у вигляді (7) в (4)

$$\Delta S_d = \frac{1}{2} \cdot \sum_{j=0}^{m-2} \left[ \left( (y_{k,j+1} - y_{n,j+1}) + (y_{k,j} - y_{n,j}) \right) (x_{j+1} - x_j) \right] \quad (9)$$

2 Випадок, коли абсциси задаючих сіток не співпадають між собою, тобто  $x_{n_i} = x_{k_j}$ ,  $i = 0, \dots, m_n - 1$ ,  $j = 0, \dots, m_k - 1$ ,  $m_n = m_k$  або  $m_n \neq m_k$ , характеризує початковий або аварійний режим функціонування САЗП, коли  $F_n(x)$  отримана за результатами

маркшайдерських зйомок або робочий режим, пов'язаний із зміною кількості ДПК при зміні кута нахилу лінії очисного вибою.

У цьому випадку необхідно заздалегідь обчислити  $S_n$  і  $S_k$  по виразу (7), а потім скористатися виразом (4). Проте, таким же чином можна поступити і в попередньому випадку.

Достовірність результатів обчислень по отриманим виразам (7), (8), (9) підтверджена шляхом проведення обчислювального експерименту з використанням програмного пакету автоматизації математичних розрахунків **MathCad**. Сутність експерименту полягала в порівнянні результатів обчислення  $\Delta S_d$  з використанням виразів (7), (8), (9) і початкового виразу (3). Отримана при цьому максимальна відносна погрішність 0,00621% свідчить про коректність виконаних перетворень.

На основі виразів (2), (4), (7) розроблено алгоритм обчислення експлуатаційної продуктивності, для якого розроблено і відлагоджено програмне забезпечення на мові Асемблер однокристального мікроконтролера *I80C51* фірми *Intel*. Відладка програмного забезпечення виконана на ЕОМ засобами програмного пакету *PDS-51 Simulator* фірми *PHYTON, Inc.*

Очевидно, що даний алгоритм може бути використаний для визначення не тільки  $A_E$ , але і об'єму здобутого вугілля за будь-який проміжок часу. У цьому випадку, функція  $F_k(x)$ , що описує положення лінії очисного вибою, визначається по закінченні заданого проміжку часу.

Таким чином, реалізація на базі системи автоматичного забезпечення прямолінійності функції контролю продуктивності очисної виїмки можлива і не вимагає додаткових контролюючих елементів, що дозволить уникнути застосування електромеханічних ваговимірювальних пристройів шляхом модернізації програмного забезпечення систем автоматизації стругової виїмки.

Перелік посилань.

1. Пономаренко В.В. Струговая выемка- перспективное направление по преодолению энергетического кризиса на Украине// Уголь Украины. - 1997.-№1.- С.26-27.
2. Сапицкий К.Ф., Бондаренко С.Н. Опыт применения новых технологий выемки весьма тонких пластов// Известия Донецкого горного института.-1995.-№1.-С.14
3. Груба В.И., Староверов К.С. Принципы построения системы автоматического обеспечения прямолинейности забоя струговой лавы// Уголь Украины. - 1999.-№11.- С.38-40.
4. Автоматизация производства на угольных шахтах/ Г.И. Бедняк, В.А. Ульшин, В.П. Довженко и др. – К.: Техника, 1989.- 272с.
5. Тарадайко В.С., Котлов Э.С., Грядущий Б.А. Струговая выемка угля. - Донецк: Донбас, 1972.- 85с.